

Увеличение всех размеров до 12 мм дало максимальный ток 500 мка.

Испытывались нити двух форм: цилиндрические и конические спирали. Существенной разницы не наблюдалось. Ток через нити составлял 5,5—10 а в зависимости от диаметра проволоки, толщины нанесенного алюмосиликата и желаемого тока ионов. Максимальная мощность, выделяемая на одной нити, не превышала 20 вт. Ток полученных ионов лития изменялся от нити к нити в 1,5—2 раза. Возможными причинами этого могли быть установка нитей относительно вытягива-

ющего электрода и различная толщина наносимого эмиттера.

Поступило в Редакцию 18/II 1966 г.

ЛИТЕРАТУРА

1. S. Allison et al. Phys. Rev., 102, 1182 (1956).
2. S. Allison, M. Kamagai. Rev. Scient. Instrum., 32, 1090 (1961).
3. Я. М. Фогель, А. Д. Тимофеев. «Уч. зап. Харьковск. ун-та», ХСVIII, 177 (1958).

Способ решения уравнения диффузии

В. С. ШУЛЕПИН

УДК 621.039.512.4

Известно [1], что уравнение диффузии сводится к факторизованной системе трех нелинейных дифференциальных уравнений первого порядка. Покажем, что однородное уравнение для потока нейтронов в симметричном одномерном реакторе можно привести к системе двух нелинейных уравнений первого порядка.

Запишем уравнение диффузии в виде

$$\frac{1}{r^{\nu}} \cdot \frac{d}{dr} \left( r^{\nu} D \frac{d\Phi}{dr} \right) + B^2 \Phi = 0, \quad (1)$$

где  $D$  — коэффициент диффузии;  $\Phi$  — скалярный поток нейтронов;  $B^2 = \frac{\nu_f \Sigma_f}{k_{эфф}} - \Sigma_c$ ;  $\nu_f$  — число нейтронов, образующихся в одном акте деления;  $\Sigma_c, \Sigma_f$  — сечения поглощения и деления соответственно;  $\nu$  равно 0; 1 и 2 для плоской, цилиндрической и сферической геометрий соответственно.

Введем функцию

$$\beta(r) = \frac{\Phi + D \frac{d\Phi}{dr}}{\Phi} \quad (2)$$

Из равенства (2) получим

$$\Phi \beta = \Phi + 2D \frac{d\Phi}{dr}; \quad (3)$$

$$\frac{d\Phi}{dr} = \frac{\Phi(\beta - 1)}{2D}. \quad (4)$$

Применив к обеим частям равенства (3) оператор

$$\frac{1}{r^{\nu}} \cdot \frac{d}{dr} r^{\nu}, \text{ запишем}$$

$$\frac{1}{r^{\nu}} \cdot \frac{d}{dr} (r^{\nu} \beta \Phi) = \frac{1}{r^{\nu}} \cdot \frac{d}{dr} (r^{\nu} \Phi) + \frac{2}{r^{\nu}} \cdot \frac{d}{dr} \left( r^{\nu} D \frac{d\Phi}{dr} \right), \quad (5)$$

откуда с помощью выражений (1) и (4) придем к следующему уравнению для  $\beta$ :

$$\frac{d\beta}{dr} = (1 - \beta) \left[ \frac{\nu}{r} + \frac{(\beta - 1)}{2D} \right] - 2B^2. \quad (6)$$

Из формулы (2) видно, что при  $r = 0$  (центр реактора)  $\beta = 1$ , так как в этой точке  $\frac{r\Phi}{dr} = 0$  вследствие симметрии потока. Условие на границе двух сред представляет собой непрерывность величины  $\beta$ , что является

следствием граничных условий диффузионного приближения.

Уравнение (6) можно решить численно, например методом Кутты [2]. Для этого необходимо знать величину правой части уравнения в точке  $r = 0$ , где она имеет особенность. Преобразуем уравнение (6) с целью устранения этой особенности, для чего умножим обе части уравнения на  $r$  и введем функцию  $\alpha = \beta r$ . Тогда получим

$$\frac{d\alpha}{dr} = \frac{\alpha}{r} + \left( 1 - \frac{\alpha}{r} \right) \left[ \nu + \frac{\left( \frac{\alpha}{r} - 1 \right) r}{2D} \right] - 2rB^2 \quad (7)$$

с условием  $\alpha(0) = 0$ . Величина  $\frac{\alpha}{r}$  в правой части уравнения (7) определена при  $r = 0$ , так как  $\lim_{r \rightarrow 0} \frac{\alpha}{r} = \beta(0) = 1$ .

Если функция  $\beta(r)$  известна, то поток  $\Phi$  можно найти путем решения уравнения (4), для которого  $\frac{d\Phi}{dr} \Big|_{r=0} = 0$ . Аналитическое решение уравнения (4) имеет вид

$$\Phi(r) = C \exp \int_0^r \frac{(\beta - 1)}{2D} dr,$$

где  $C$  — постоянная.

Известно, что при решении задачи в диффузионном приближении на внешней границе реактора ( $r = R_{гр}$ ) ставится условие

$$\frac{\Phi(R_{гр})}{2} + D \frac{d\Phi}{dr} \Big|_{r=R_{гр}} = 0,$$

которое в соответствии с равенством (2) можно записать в виде

$$\beta(R_{гр}) = 0. \quad (8)$$

Условие (8) позволяет найти величину  $k_{эфф}$  реактора конечного размера. Для этого уравнение (7) решается несколько раз при различных значениях  $k_{эфф}$ , а затем строится график зависимости  $\beta(R_{гр})$  от  $k_{эфф}$ , с помощью которого искомая величина  $k_{эфф}$  определяется при  $\beta = 0$ . Данный метод может обладать преимуществом по сравнению с методом итераций, применяемым для решения факторизованной системы уравнений, эквивалентной уравнению (1), так как при медленной сходимости итерационного процесса позволяет быстрее найти величину  $k_{эфф}$ .



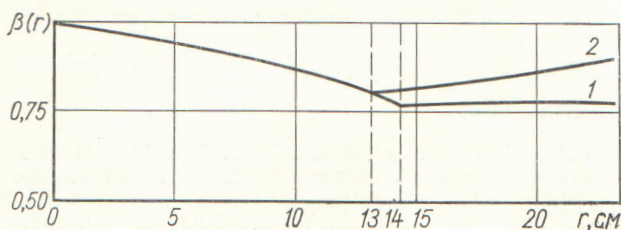


График функции β(r).

Критерий (8) нельзя применить для определения  $k_{эфф}$  реактора с бесконечным отражателем. В этом случае, как показывает численный расчет, β стремится к постоянной величине по мере удаления от активной зоны (см. рисунок). Путем аналитического решения уравнения (4) было найдено, что при  $k_{эфф} = 1$  критический радиус активной зоны  $R_{a.з} = 14,2$  см. Уравнение (7) решалось методом Кутты с шагом по r, равным 1 см, при указанных значениях  $k_{эфф}$  и  $R_{a.з}$ . Расчетные константы приведены в таблице.

Как видно из рисунка, функция β(r) убывает по мере удаления от центра активной зоны и стремится к постоянной величине в отражателе (кривая 1). Проведен также расчет реактора при  $k_{эфф} = 1$  и  $R_{a.з} = 13$  см, т. е. подкритического реактора. В этом случае функция β(r) в отражателе возрастает (кривая 2).

Функция β(r) не единственная, с помощью которой можно осуществить переход от уравнения (1) к уравнениям типа (4) и (6). В работе [3] показано, что использо-

вание функции  $\eta(r) = \frac{d\Phi}{\Phi}$  также приводит к уравнениям, аналогичным (4) и (6).

Расчетные константы

| Константы        | Активная зона | Отражатель |
|------------------|---------------|------------|
| D                | 1,30          | 1,00       |
| $\Sigma_c$       | 0,028         | 0,0070     |
| $\nu_f \Sigma_f$ | 0,040         | 0,00       |

Распространение метода на случай многих групп возможно при известных отношениях  $\frac{\Phi_1}{\Phi_2}, \frac{\Phi_1}{\Phi_3}, \frac{\Phi_2}{\Phi_3} \dots$  (индексы 1, 2, 3 ... — номера групп) в центре реактора, которые могут быть заданы приближенно, например как отношения групповых потоков в бесконечной среде.

Автор выражает благодарность Г. Я. Румянцеву, Ю. И. Орехову и Л. Я. Исаковой за ценные критические замечания.

Поступило в Редакцию 22/II 1966 г.

ЛИТЕРАТУРА

1. Г. И. Марчук. Методы расчета ядерных реакторов. М., Госатомиздат, 1961.
2. Э. Д. Бут. Численные методы. М., Физматгиз, 1959.
3. С. Бингулац и др. Доклад № 706, представленный Югославией на Третью международную конференцию по мирному использованию атомной энергии (Женева, 1964).

## Об использовании универсальных электронно-вычислительных машин для комплексной оценки результатов исследований при поисках месторождений урана

И. А. ЛУЧИН

УДК 550.8

Все известные месторождения урана открыты радиометрическими методами. Однако глубинность этих методов очень мала. С их помощью можно вести поиски месторождений на площадях с мощностью рыхлых отложений не более 10—12 м. Поиски не выходящих на поверхность земли и глубоко залегающих месторождений ведутся на более высоком уровне с широким применением общих геофизических (грави-, электро- и магнитометрического), литолого-петрографических, геохимических и других методов.

Объем информации, получаемой при таких исследованиях, велик, ее переработка традиционными приемами трудна, а выводы в известной степени субъективны. Для комплексного анализа результатов геолого-геофизических исследований могут быть использованы методы теории вероятностей, теории статистических решений и теории игр. Анализ информации целесообразно проводить на ЭВМ (предполагается использование ЦЭВМ — цифровых электронно-вычислительных машин), способных хранить и обрабатывать большой объем информации. Таким путем могут быть выявлены

содержащиеся в последней закономерности и связи, установлены статистические критерии.

Такая обработка материалов по известным геологическим объектам и сравнение полученных данных с информацией по исследуемой площади дает возможность установить критерии, определяющие вероятность нахождения месторождений, перспективность отдельных геологических районов, оценить выявленные аномалии и рудопроявления. Результаты машинного анализа могут послужить объективной основой для составления металлогенических и прогнозных карт.

Известно, что локализация месторождения на той или иной площади является результатом совместного действия большого числа факторов, частью установленных, частью предполагаемых. Одна из сложностей комплексного анализа состоит в том, что исследователь имеет дело не с причинами, а с их следствиями, причем в ряде случаев одна и та же причина может привести к различным результатам.

Целью анализа на ЦЭВМ является установление статистически обоснованных связей между известными